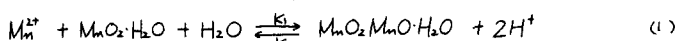


北海道大学 工学部 松井佳彦 丹保憲仁 篠原康夫 藤村 力

1. はじめに

マンガニイオンは、鉱山、工場、下水、温泉排水等が混入する河川水を原水とする淨水過程において、幅広い濃度で出現する環境汚染成分である。マンガニイオンの除去法の一つである接触沪過法は、マンガン酸化物の存在下において、塩素による酸化反応が容易に進行する事を利用した方法である。多くの淨水場で実用され、中西¹⁾や高井²⁾の研究がある。この反応は式(1)(2)のように、二価のマンガニイオンの砂表面の活性二酸化マンガンへ吸着する反応と、それに続くその結果不活性化した酸化マンガンの塩素による再生反応で表現される。^{1), 2)}



従来の研究では、これら諸反応の係数決定が必ずしも各機構毎に明確でないところもある。そこで筆者等は、反応速度定数をそれぞれの反応毎に独立の実験的検討により定め、結果を用いて、回分式および連続式の脱マンガン処理実験の結果をモデルにより予測し、実測と対比して、理論と係数の妥当性を証した。

2. 除去速度式

個々の反応を一次と仮定すると、式(1)より Mn^{2+} の吸着速度 $\frac{\partial S_1}{\partial t}$ は式(3)のように示される。同様に塩素による再生酸化速度は式(4)で示される。

$$\frac{\partial S_1}{\partial t} = K_1 M (S_0 - S') - K_2 S' \quad (3) \qquad \frac{\partial S_2}{\partial t} = K_3 C S' \quad (4)$$

ここで S_1 : 除去されたマンガニイオン量、 S_0 : マンガニ砂の飽和吸着量、 S' : 沪床単位体積当たりの不活性酸化マンガン量、 S_2 : 再生された二酸化マンガン量、 M , C : マンガニイオンと塩素濃度、 K_1 , K_2 , K_3 : 反応速度定数。式(3), (4)より不活性二酸化マンガンの増加速度は式(5)で示される。

$$\frac{\partial S_2}{\partial t} = K_3 M (S_0 - S') - K_2 S' - K_3 C S' \quad (5)$$

マンガニ、塩素の沪層中の收支は式(6), (7)のように書かれる。

$$\frac{\partial S_1}{\partial t} + D \frac{\partial M}{\partial X} = 0 \quad (6) \qquad \frac{\partial S_2}{\partial t} + D \frac{\partial C}{\partial X} = 0 \quad (7)$$

これらの式中の反応速度定数を求めすれば、連立微分方程式を解いて、接触沪過によるマンガニの除去過程を定量的に表現出来る。

3. 反応速度定数の決定

a. マンガニ砂の Mn^{2+} 吸着等温線： 再生酸化反応を伴わない場合、除去過程は式(3)(4)の吸着速度式のみで示される。式(3)において $\frac{\partial S_1}{\partial t} = 0$ とすると、平衡吸着に関するラングミュア型の吸着等温線が得られる。

$$S'_0 = \frac{S_0 K_1 M'}{1 + K_1 M'} = \frac{S_0 \cdot KM'}{1 + KM'} \quad (8) \qquad \text{ここで } S'_0, M': \text{平衡吸着量, 平衡濃度}$$

回分式、連続式のマンガニ砂のマンガニイオンの吸着実験より図1の吸着等温線が得られた。図1より、このマンガニ砂の飽和吸着量 $S_0 = 0.6 (\text{mg/g-sand})$ 、吸着速度定数 K_1 と脱着速度定数 K_2 の比 $K = 10 (\text{%/mg})$ が得られた。

b. 吸着速度定数 K_1 と脱着速度定数 K_2 ： 新しいマンガニ砂を充填した沪床に、 Mn^{2+} を種々の濃度で流下させ、初期の Mn^{2+} 濃度の砂層深さ方向の変化を測定したところ、片対数紙上で直線関係が得られた（図2）。式(3)(6)より Mn^{2+} 濃度の初期の深さ方向の変化は式(9)で示され、図2の直線の傾きより、 $K_1 = 360 (\text{%/mol-mg})$ が決定した。 $K = K_1/K_2 = 10 (\text{%/mg}) = 5.5 \times 10^5 (\text{%/mol})$ より、

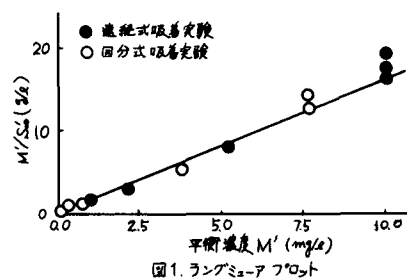


図1. ラングミアフロット

$$K_2 = 0.00066 (\text{Vmin}) \text{ となる。}$$

C. 再生酸化速度定数 K_3 : 吸着飽和したマンガン砂床に塩素を流下させ、塩素濃度の深さ方向分布を測定したところ、図3のようであった。式(4)～(7)より沪過初期の沪層深さ方向の濃度変化は式(10)で表現されることから図の傾きより $K_3 = 18 (\text{l/mol}\cdot\text{mm})$ が得られた。

$$\ln \frac{M}{M_0} = K_3 S \frac{X}{V} \quad (9)$$

$$\ln \frac{C}{C_0} = K_3 S \frac{X}{V} \quad (10)$$

4. 除去過程のシミュレーションとその精度の確認

マンガニ砂に対しての M_{ads} の回分吸着の際の濃度の時間変化は、式(3)および、液濃度と吸着量間の物質収支より、式(11)で計算される。沪床を用いた連続式吸着のブレーカスルーカーブは式(3)～(6)を解いて、式(12)で与えられる。

$$M = - \frac{M_0 + \lambda_1}{1 - \frac{M_0 + \lambda_1}{M_0 + \lambda_2} \exp((\lambda_1 - \lambda_2)K_1 t)} \quad (11)$$

$$\text{ここで } \lambda_1, \lambda_2 = \left\{ S_0 m/V + K - M_0 \pm \sqrt{(S_0 m/V + K - M_0)^2 - 4KM_0} \right\}/2$$

M_0 : 初期濃度, m : マンガニ砂添加量, V : マンガニ容積量

$$\frac{M}{M_0} = \frac{I_0(2\sqrt{rw\tau}) + \varphi(\tau, rw)}{I_0(2\sqrt{rw\tau}) + \varphi(\tau, rw) + \varphi(w, rw)} \quad (12)$$

$$\text{ここで } I_0(x) : \text{第1種変形 Bessel 関数}, \varphi(x, y) = e^x \int_0^x e^{-t} J_0(\sqrt{3}ty) dt$$

$$\tau = (K M_0 + K_2) t, r = K_2 / (K M_0 + K_2), w = S_0 K_1 X / V$$

図4.5にそれぞれ、回分式と連続式の実験結果、および、さきに決定した反応速度定数を用いた計算結果を示す。两者はよく一致している。マンガニイオンが吸着平衡に達したマンガニ砂を充填した沪床に塩素を流下させ、流出塩素濃度の時間変化を測定した。図6より、計算値は実験値とよく一致している。マンガニ砂を沪床に充填し、マンガニイオンと塩素を同時に流入させて、連続的に M_{ads} の吸着除去と、その結果生じた不活性マンガニ砂の再生を行なう実験の結果を図7に示す。図中の実線は上記の反応速度定数を用いて式(3)～(7)を差分法で解いた結果であり、実験値と計算値はよく一致している。

5.まとめ

以上の結果より、塩素-マンガニ砂法によるマンガニの除去過程は、吸着と再生酸化に分けられ、各々別個に解析が可能で、個々に速度定数と正確に求めうる。吸着の速度定数 K_1 は酸化の速度定数 K_3 に比較して大きく、酸化速度が律連となる操作である。

参考文献 1) 中西: 接触酸化法によるマンガニ除去の研究(I)(II), 水道協会雑誌, 昭和42年1月, 2月

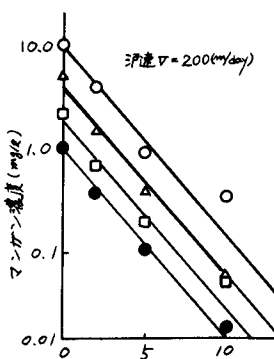


図2. 沪過初期のマンガニ吸着

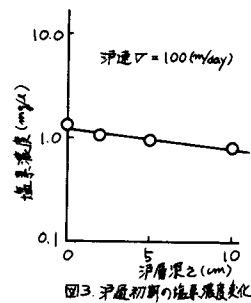


図3. 沪過初期の塩素濃度変化

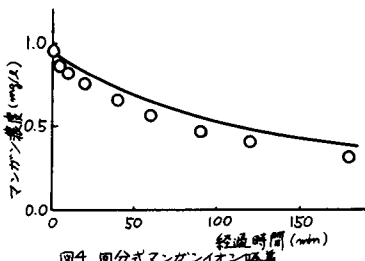


図4. 回分式マンガニイオン吸着

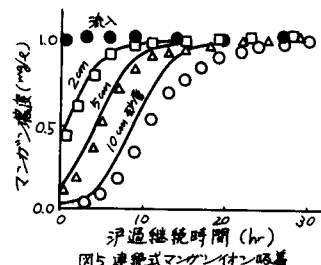


図5. 連続式マンガニイオン吸着

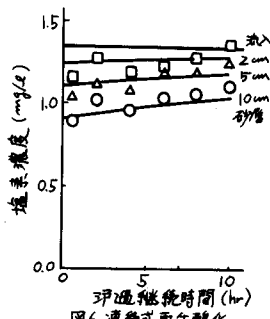


図6. 連続式再生酸化

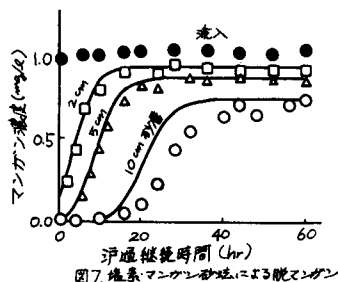


図7. 塩素-マンガニ砂法による脱マンガニ